

**EM421 - RESISTÊNCIA DOS MATERIAIS I**  
**SEGUNDO SEMESTRE DE 1999**  
**PROVA I - 17/09/1999**

Nome:

RA:

**Questão 1** (Valor 5,0): A viga bi-engastada mostrada abaixo possui rótulas nas seções B e C. A viga deve suportar uma carga uniformemente distribuída  $q_o = 2000N/m$  ao longo de um vão  $L = 3m$ . Por razões construtivas a seção transversal da viga deverá ser um retângulo com dimensões  $b \times 2b$ . Para esta viga solicita-se: a) as equações e os diagramas de esforço cortante e momento fletor a serem obtidas através da integração da equação diferencial do momento fletor, b) as reações de apoio, c) a dimensão mínima  $b$  da seção transversal sendo a tensão normal admissível do material  $\bar{\sigma} = 200N/mm^2$ .

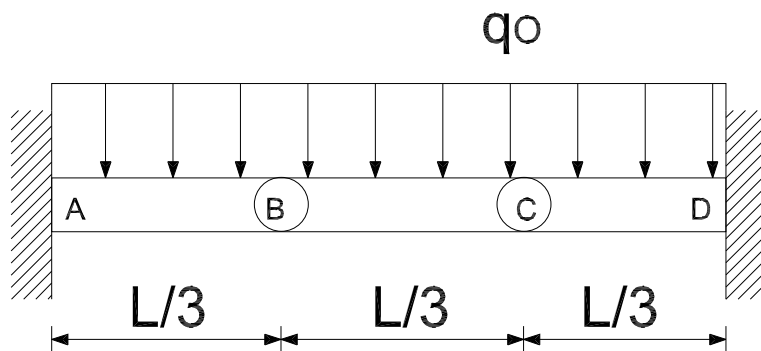


Figura 1: Viga da questão 1.

**Questão 2** (Valor 5,0): A Figura abaixo ilustra um eixo de uma máquina de comprimento  $L = 3m$ . Na extremidade  $x = 0$ , tem-se um motor que aplica um torque externo  $T = 1600Nm$ . Além disso, o eixo está submetido a um torque distribuído linear de intensidade  $t_o = 800Nm/m$ . Pede-se traçar o diagrama do momento torçor e determinar a reação de apoio através da integração da equação diferencial do momento torçor. Suponha agora que o eixo tenha seção circular vazada com a seguinte relação entre os diâmetros interno e externo  $d_i = 0,8d_e$ . Sabendo-se que a tensão de cisalhamento admissível do material é  $\bar{\tau} = 50MPa$ , dimensione o eixo. Após dimensionar o eixo determinar o ângulo de torção nas seções  $x = 0$  e  $x = 2m$  sendo  $G = 80GPa$ .

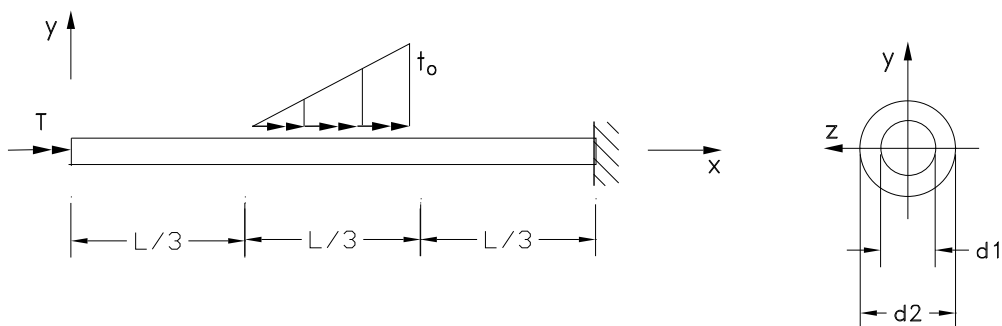


Figura 2: Eixo da questão 2.

1. Solução da Questão 1

2. Equação do carregamento:  $q(x) = -q_0$

3. Condições de contorno

$$v(x = 0) = 0 \quad v(x = L) = 0$$

$$\theta_z(x = 0) = 0 \quad \theta_z(x = L) = 0$$

4. Restrições adicionais nas rótulas

$$M_z(x = \frac{L}{3}) = 0 \quad M_z(x = \frac{2L}{3}) = 0$$

5. Integração da equação diferencial:  $\frac{d^2 M_z}{dx^2} = q(x) = -q_0$

- 1<sup>a</sup> integração: força cortante

$$V_y(x) = -q_0 x + C_1$$

- 2<sup>a</sup> integração: momento fletor

$$M_z(x) = -q_0 \frac{x^2}{2} + C_1 x + C_2$$

6. Determinação das constantes de integração

$$M_z(x = \frac{L}{3}) = -q_0 \frac{(L/3)^2}{2} + C_1 \frac{L}{3} + C_2 = 0 \rightarrow C_1 + \frac{3}{L} C_2 = q_0 \frac{L}{6}$$

$$M_z(x = \frac{2L}{3}) = -q_0 \frac{(2L/3)^2}{2} + C_1 \frac{2L}{3} + C_2 = 0 \rightarrow C_1 + \frac{3}{2L} C_2 = q_0 \frac{L}{3}$$

Resolvendo o sistema constituído das duas equações anteriores, tem-se  $C_1 = q_0 \frac{L}{2}$  e  $C_2 = -q_0 \frac{L^2}{9}$ .

7. Equações finais

Substituindo as constantes de integração  $C_1$  e  $C_2$  e os valores dados  $L = 3m$  e  $q_0 = 2000N/m$  vem que

- força cortante:  $V_y(x) = -q_0 x + q_0 \frac{L}{2} = -2000x + 3000$

- momento fletor:  $M_z(x) = -q_0 \frac{x^2}{2} + q_0 \frac{L}{2} x - q_0 \frac{L^2}{9} = -1000x^2 + 3000x - 2000$

8. Diagramas da força cortante e momento fletor

$$V_y(x = 0) = 3000N \quad M_z(x = 0) = -2000Nm$$

$$V_y(x = 1) = 1000N \quad M_z(x = 1) = 0$$

$$V_y(x = 1,5) = 0 \quad M_z(x = 1,5) = 250$$

$$V_y(x = 2) = -1000N \quad M_z(x = 2) = 0$$

$$V_y(x = 3) = -3000N \quad M_z(x = 3) = -2000Nm$$

9. Reações nos apoios

$$\text{Forças: } R_{Ay} = V_y(x = 0) = 3000N \quad R_{By} = -V_y(x = 3) = 3000$$

$$\text{Momentos: } M_{Az} = -M_z(x = 0) = 2000Nm \quad M_{Bz} = M_z(x = 3) = -2000Nm$$

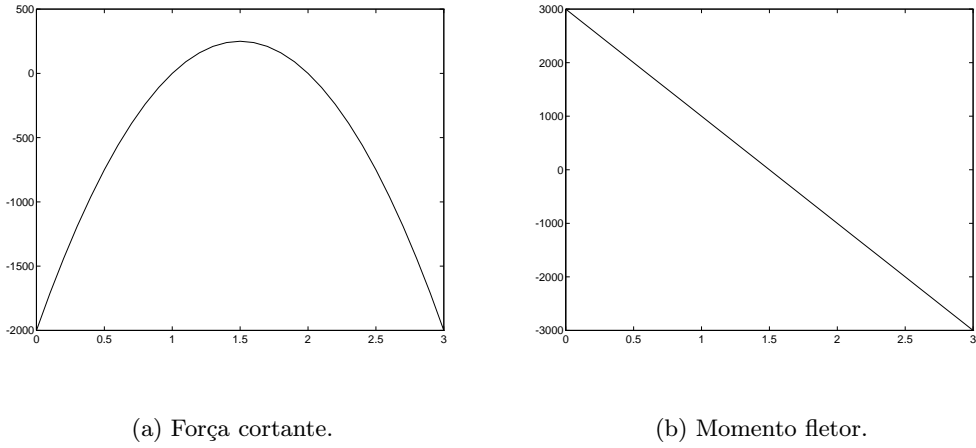


Figura 3: Diagramas para a viga da questão 1.

## 10. Dimensionamento

As seções  $x = 0^+$  e  $x = 3^-$  são as mais solicitadas da viga pois os momentos fletores em módulo são máximos na viga e com valor de  $|M_z| = 2000 \text{ Nm} = 2 \times 10^6 \text{ Nm}$ .

O módulo de resistência da seção é dado por  $W_z = \frac{I_z}{y_{\max}}$ . Por sua vez,  $I_z = \frac{bh^3}{12} = \frac{b(2b)^3}{12} = \frac{2}{3}b^4$  e  $y_{\max} = b$ . Logo,  $W_z = \frac{2}{3}b^3$ .

No dimensionamento impõe-se que a tensão máxima na viga  $\sigma_{\max} = \frac{M_{z \max}}{W_z}$  seja igual a tensão admissível do material, ou seja,

$$\sigma_{\max} = \frac{M_{z \max}}{W_z} = \frac{M_{z \max}}{\frac{2}{3}b^3} = \bar{\sigma} \rightarrow b = \left( \frac{3M_{z \max}}{2\bar{\sigma}} \right)^{\frac{1}{3}} = \left( \frac{(3)(2 \times 10^6)}{(2)(200)} \right)^{\frac{1}{3}} \rightarrow b = 24,7 \text{ mm}.$$

1. Solução da Questão 2

2. Equação do carregamento:  $t(x) = \frac{t_0}{L/3} \left\langle x - \frac{L}{3} \right\rangle^1 - \frac{t_0}{L/3} \left\langle x - \frac{2L}{3} \right\rangle^1 - t_0 \left\langle x - \frac{2L}{3} \right\rangle^0$

3. Condições de contorno

$$M_x(x=0) = -T \quad \theta(x=L) = 0$$

4. Integração da equação diferencial:  $GI_p \frac{d^2\theta}{dx^2} = -t(x) = -\frac{t_0}{L/3} \left\langle x - \frac{L}{3} \right\rangle^1 + \frac{t_0}{L/3} \left\langle x - \frac{2L}{3} \right\rangle^1 + t_0 \left\langle x - \frac{2L}{3} \right\rangle^0$

- 1<sup>a</sup> integração: momento torçor

$$M_x(x) = -\frac{t_0}{2L/3} \left\langle x - \frac{L}{3} \right\rangle^2 + \frac{t_0}{2L/3} \left\langle x - \frac{2L}{3} \right\rangle^2 + t_0 \left\langle x - \frac{2L}{3} \right\rangle^1 + C_1$$

- 2<sup>a</sup> integração: ângulo de torção

$$GI_p \theta(x) = -\frac{t_0}{2L} \left\langle x - \frac{L}{3} \right\rangle^3 + \frac{t_0}{2L} \left\langle x - \frac{2L}{3} \right\rangle^3 + \frac{t_0}{2} \left\langle x - \frac{2L}{3} \right\rangle^2 + C_1 x + C_2$$

5. Determinação da constante de integração

$$M_x(x=0) = -\frac{t_0}{2L/3}(0) + \frac{t_0}{2L/3}(0) + t_0(0) + C_1 = -T \rightarrow C_1 = -T$$

$$GI_p \theta(x=L) = -\frac{t_0}{2L} \left( L - \frac{L}{3} \right)^3 + \frac{t_0}{2L} \left( L - \frac{2L}{3} \right)^3 + \frac{t_0}{2} \left( L - \frac{2L}{3} \right)^2 + C_1 L + C_2 = 0 \rightarrow C_2 = \frac{2t_0}{27} L^2 + TL$$

6. Equação final:

- momento torçor:  $M_x(x) = -\frac{t_0}{2L/3} \left\langle x - \frac{L}{3} \right\rangle^2 + \frac{t_0}{2L/3} \left\langle x - \frac{2L}{3} \right\rangle^2 + t_0 \left\langle x - \frac{2L}{3} \right\rangle^1 - T$
- ângulo de torção:  $GI_p \theta(x) = -\frac{t_0}{2L} \left\langle x - \frac{L}{3} \right\rangle^3 + \frac{t_0}{2L} \left\langle x - \frac{2L}{3} \right\rangle^3 + \frac{t_0}{2} \left\langle x - \frac{2L}{3} \right\rangle^2 - Tx + \frac{2t_0}{27} L^2 + TL$

Substituindo os valores dados  $L = 3m$ ,  $T = 1600Nm$  e  $t_0 = 800Nm/m$  vem que

$$M_x(x) = -400 \langle x - 1 \rangle^2 + 400 \langle x - 2 \rangle^2 + 800 \langle x - 2 \rangle^1 - 1600$$

$$GI_p \theta(x) = -\frac{400}{3} \langle x - 1 \rangle^3 + \frac{400}{3} \langle x - 2 \rangle^3 + 400 \langle x - 2 \rangle^2 - 1600x + \frac{16000}{3}$$

7. Diagrama do momento torçor

$$0 < x < 1 \rightarrow M_x(x) = -1600Nm$$

$$1 < x < 2 \rightarrow M_x(x) = -400(x-1)^2 - 1600 = \begin{cases} -1600Nm & (x=1) \\ -2000Nm & (x=2) \end{cases}$$

$$2 < x < 3 \rightarrow M_x(x) = -400(x-1)^2 + 400(x-2)^2 + 800(x-2)^1 - 1600 = -2000Nm$$

8. Reação no apoio:  $T_D = M_x(x=3) = -2000Nm$

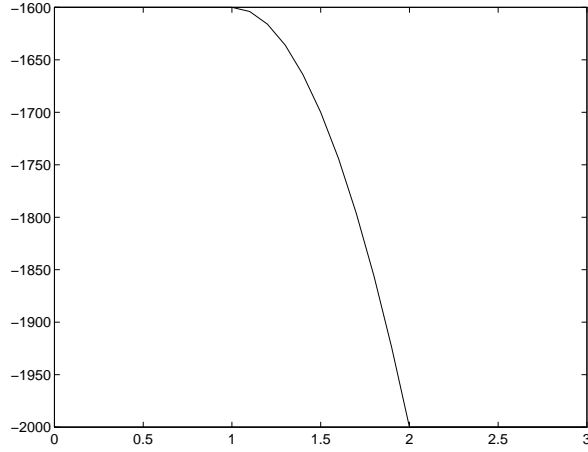


Figura 4: Diagrama de momento torçor para o eixo da questão 2.

#### 9. Dimensionamento

As seções no intervalo  $2 < x < 3$  são as mais solicitadas do eixo e o momento torçor em módulo é  $|M_x| = 2000 \text{ Nm}$ .

O módulo de resistência à torção da seção é dado por  $W_x = \frac{2I_p}{d_e}$ . Por sua vez, o momento de inércia da seção é dado por  $I_p = \frac{\pi}{4}(d_e^4 - d_i^4)$ . Como  $d_i = 0,8d_e$ , tem-se que  $I_p = \frac{\pi}{4}(0,5904d_e^4) = 0,4637d_e^4$ . Logo,  $W_x = 0,9274d_e^3$ .

No dimensionamento impõe-se que a tensão de cisalhamento máxima no eixo  $\tau_{\max} = \frac{M_{x \max}}{W_x}$  seja igual a tensão de cisalhamento admissível do material, ou seja,

$$\tau_{\max} = \frac{M_{x \max}}{W_x} = \frac{M_{x \max}}{0,9274d_e^3} = \bar{\tau} \rightarrow d_e = \left( \frac{M_{x \max}}{0,9274\bar{\tau}} \right)^{\frac{1}{3}} = \left( \frac{2000}{(0,9274)(50 \times 10^6)} \right)^{\frac{1}{3}} \rightarrow d_e = 35,1 \text{ mm.}$$

Logo,  $d_i = 0,8d_e = 28,1 \text{ mm}$ .

#### 10. Ângulos de torção em $x = 0$ e $x = 2m$

$$GI_p\theta(x=0) = -\frac{400}{3}(0)^3 + \frac{400}{3}(0)^3 + 400(0)^2 - 1600(0) + \frac{16000}{3} \rightarrow \theta(x=0) = \frac{16000}{3GI_p}$$

$$GI_p\theta(x=2) = -\frac{400}{3}(2-1)^3 + \frac{400}{3}(2-2)^3 + 400(2-2)^2 - 1600(2) + \frac{16000}{3} \rightarrow \theta(x=2) = \frac{6000}{3GI_p}$$

O momento de inércia polar é calculado como  $I_p = \frac{\pi}{4}(d_e^4 - d_i^4) = I_p = \frac{\pi}{4}((35,1)^4 - (28,1)^4) = .7,024 \times 10^5 \text{ mm}^4 = 7,024 \times 10^{-7} \text{ m}^4$ . Logo,  $G I_p = (80 \times 10^9)(7,024 \times 10^{-7}) = 56194,59$ . Substituindo nas expressões das rotações vem que

$$\theta(x=0) = \frac{16000}{3GI_p} = \frac{16000}{(3)(56194,59)} = 0,095 \text{ rd}$$

$$\theta(x=0) = \frac{6000}{3GI_p} = \frac{6000}{(3)(56194,59)} = 0,036 \text{ rd}$$